

บทที่ 4

## ผลการทดลองและการอภิปรายผล

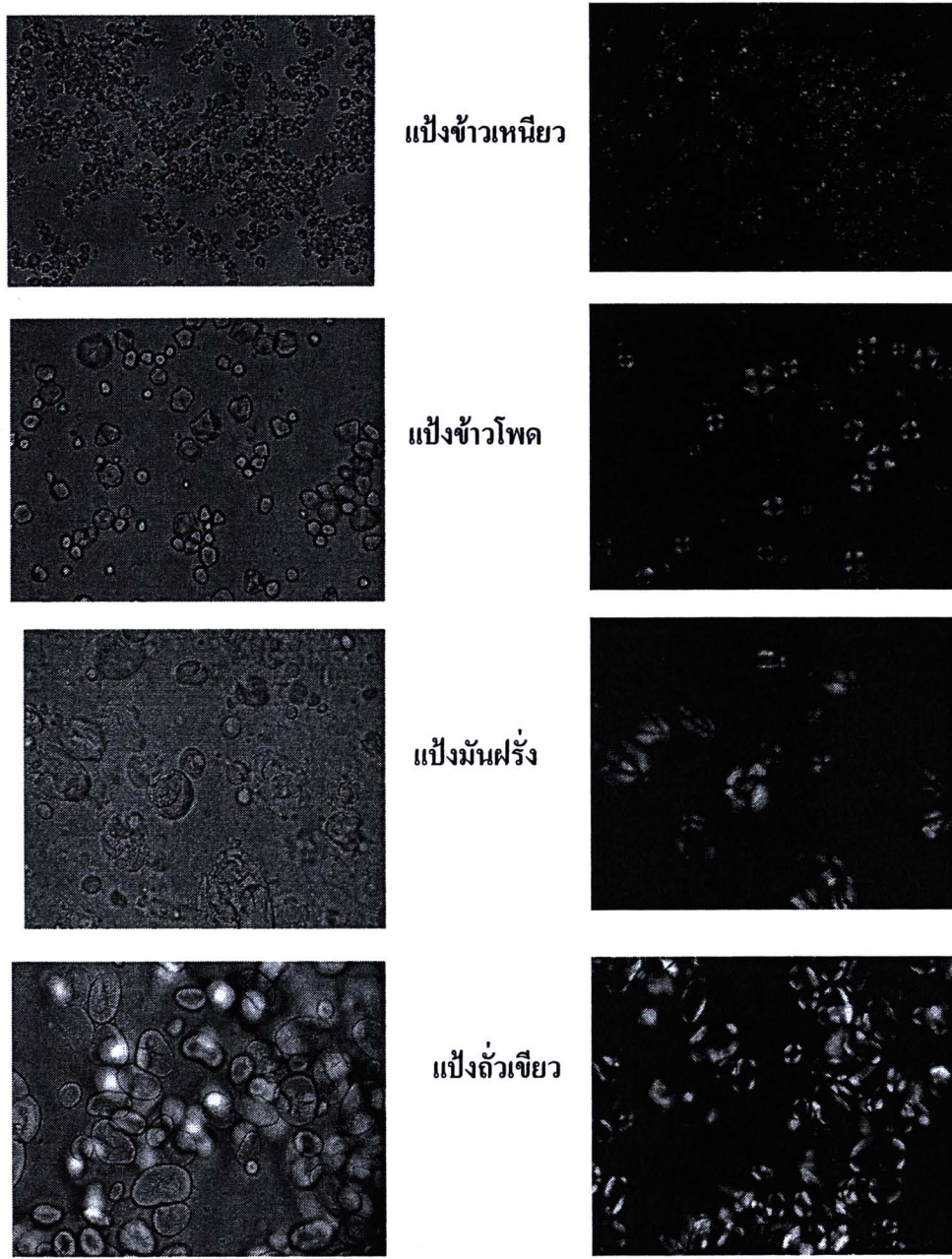
#### 4.1 การย่อoyและบีบโดยแบคทีเรียแลคโตบาซิลลัส

#### 4.1.1. ลักษณะโครงสร้างแกนหลักของเป้า

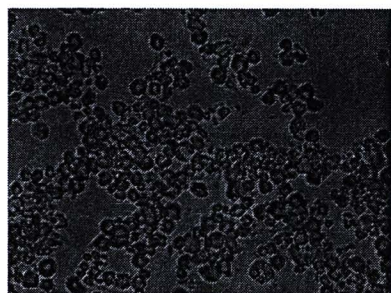
การศึกษาวิจัยในครั้งนี้เริ่มต้นจากการนำผงแป้งดิน (native starch) ไปศึกษากមณะโครงสร้างของเม็ดแป้งภายใต้กล้องจุลทรรศน์ธรรมชาติและกล้องจุลทรรศน์แสงโพลาไรซ์ดัง (รูปที่ 4.1) ซึ่งจากการศึกษาพบว่าแป้งทั้ง 4 ชนิดที่นำมาศึกษามีรูปร่างลักษณะที่แตกต่างกันออกไป (ตารางที่ 4.1)

ลักษณะของเม็ดแบ่งแต่ละชนิดภายใต้กล้องจุลทรรศน์แสงโพลาไรซ์พบว่าเม็ดแบ่งดิบทั้ง 4 ชนิดยังคงแสดงคุณสมบัติของการบิดระนาบแสงโพลาไรซ์ (birefringence) ทำให้มองเห็นเม็ดแบ่งในลักษณะที่เป็นรูปกาลบาท (maltese cross) ซึ่งเกิดจากลักษณะโครงสร้างที่เป็นระเบียบที่อยู่ภายในเม็ดแบ่ง จากการศึกษาที่ผ่านมาพบว่าแบ่งดิบจะมีสมบัติที่เปลี่ยนแปลงได้ถ้าเม็ดแบ่งที่แหวนโลหะอยู่ในน้ำถูกให้ความร้อนซึ่งจะส่งผลให้พันธะไฮดรเจนในเม็ดแบ่งถูกทำลายทำให้โครงสร้างที่เป็นระเบียบของเม็ดแบ่งถูกทำลายเกิดการสูญเสียสมบัติของการบิดระนาบแสงโพลาไรซ์ ลักษณะกาลบาทในเม็ดแบ่งจะลดลงหรือหายไป การวิจัยในครั้งนี้มีการเตรียมอาหารวุ้นดัดแปรเพื่อใช้เพาะเลี้ยงแบคทีเรียสายพันธุ์แลคโตบาซิลลัสโดยการใช้แบ่งดิบทั้ง 4 ชนิดดังกล่าวไปผสมในส่วนผสมของอาหารวุ้นแทนน้ำตาลกูลิโคลสซึ่งปกติจะใช้เป็นแหล่งคาร์บอน แต่ในขั้นตอนการเตรียมอาหารเลี้ยงเชื้อจะต้องมีการเตรียมโดยนำไบฟ์มาเข้าเชื้อที่อุณหภูมิ  $121^{\circ}\text{C}$  ความดัน 15 บอนด์ / ตารางนิวตัน นาน 15 นาที ซึ่งอุณหภูมิและความดันนี้จะส่งผลทำให้ความเป็นพลีกและโครงสร้างที่เป็นระเบียบของเม็ดแบ่งดิบถูกเปลี่ยนสภาพไปซึ่งในการทดลองครั้งนี้จะต้องรักษาสภาพเดิมของเม็ดแบ่งไว้ การทดลองครั้งนี้จึงต้องปรับเปลี่ยนการเตรียมอาหารวุ้นที่มีแบ่งเป็นส่วนผสมโดยการผสมแบ่งในอาหารวุ้นภายหลังที่เตรียมด้วยส่วนผสมและผ่านการนึ่งไห้เชื้อเรียบร้อยแล้ว โดยเมื่ออาหารวุ้นมีอุณหภูมิลดลงจนถึงอุณหภูมิ  $50^{\circ}\text{C}$  ซึ่งเป็นอุณหภูมิที่วุ้นยังไม่แข็งตัวและคงแบ่งสามารถกระจายตัวอยู่ในอาหารได้ทั่วทั้ง plate แต่อย่างไรก็ตามถึงแม้ว่าจะมีการผสมแบ่งลงในอาหารวุ้นที่อุณหภูมิ  $50^{\circ}\text{C}$  ก็ต้องมีการตรวจสอบลักษณะโครงสร้างของแบ่งว่ามีการเปลี่ยนแปลงไปหรือไม่ โดยทำการตรวจสอบด้วยวิธีเดียวกันกับที่ใช้กับแบ่งดิบ ผลการศึกษาพบว่าโครงสร้าง ขนาดและลักษณะของเม็ดแบ่งภายใต้การเตรียมที่อุณหภูมิ  $50^{\circ}\text{C}$  ของแบ่งทั้ง 4 ชนิด ไม่พบการเปลี่ยนแปลงไปของรูปร่างลักษณะของเม็ดแบ่ง ยังคงมีความเป็นพลีก ความเป็นระเบียบของโครงสร้างเม็ดแบ่งทำให้มองเห็นลักษณะ birefringence ของเม็ดแบ่งทั้ง 4 ชนิด ภายใต้กล้องจุลทรรศน์โพลาไรซ์ (รูปที่ 4.2) ทำให้แน่ใจได้ว่าอาหารวุ้นดัดแปรผสมแบ่งดิบแทนน้ำตาลกูลิโคลส์สามารถนำไปใช้ทดสอบความสามารถในการ

เจริญเติบโตของแบคทีเรียแลคโตบაซิลลัสได้โดยแบ่งที่ใช้ยังคงรูปเดิมอยู่ และเป็นการทำให้มันใจว่าแบ่งที่อยู่ในรูปธรรมชาติสามารถที่จะนำไปใช้เป็นอาหารให้กับเชื้อในกลุ่มของ probiotic ได้ ซึ่งผลการทดลองนี้ ลดคลื่นกับข้อมูลโดยทั่วไปที่ว่า แบ่งเมื่อถูกทำให้ร้อนขึ้นภายใต้สภาวะที่มีน้ำมากเพียงพอ แกรนูลแบ่งจะ มีการเปลี่ยนแปลงจากสภาพโครงสร้างที่เป็นระเบียบที่มีอยู่ภายในแกรนูลแบ่งไปสู่ความไม่เป็นระเบียบ ภายใต้กระบวนการที่เรียกว่า gelatinization ซึ่งจะเกิดขึ้นในช่วงอุณหภูมิที่แตกต่างกันไปโดยขึ้นกับชนิดของ แบ่ง การเปลี่ยนแปลงมีความเกี่ยวข้องกับการแพร่ของน้ำเข้าไปสู่แกรนูลโดยเฉพาะในบริเวณที่เป็น ส่วนอัลตราโซนิก เกิดการอุ่มน้ำและพองตัว มีการสูญเสียคุณสมบัติ birefringence และความเป็นผลึกรวมทั้ง มีการร้าวออกมากของอะมิโลส และต่อมา มีการเกิดเป็น paste ต่อมาก อุณหภูมิที่ก่อให้เกิด gelatinization และ ทำให้แกรนูลถูกทำลายไปโดยส่วนใหญ่จะเกิดที่อุณหภูมิมากกว่า  $50^{\circ}\text{C}$  (Zhang และคณะ, 2005) แต่ใน การศึกษาในครั้นนี้ มีการเตรียมอาหารเลี้ยงเชื้อที่ใช้ส่วนประกอบของแบ่งแทนกลูโคสซึ่งเป็นแหล่งคาร์บอน ที่อุณหภูมิประมาณ  $50^{\circ}\text{C}$  จึงไม่ทำให้โครงสร้างของแกรนูลแบ่งมีการเปลี่ยนแปลงไป



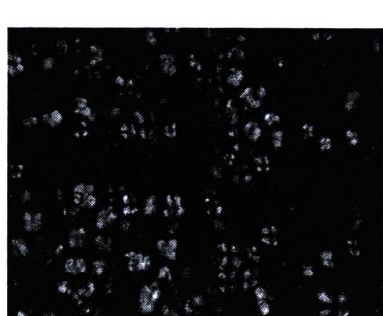
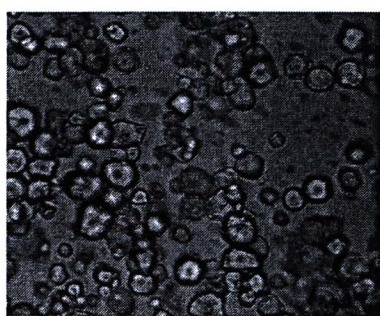
รูปที่ 4.1 ลักษณะเม็ดแบ่งดินภัยใต้กล้องจุลทรรศน์ธรรมชาติ (ซ้าย) และกล้องจุลทรรศน์ที่ใช้แสงโพลาไรซ์ (ขวา) ที่กำลังขยาย  $\times 40$



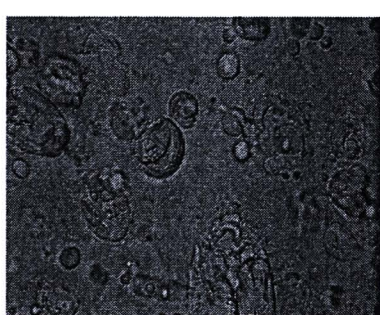
ແປ້ງຂ້າວເໜືອ



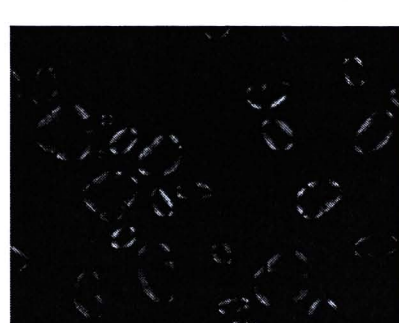
ແປ້ງຂ້າວໂພດ



ແປ້ງມັນຜົ່ງ



ແປ້ງຄ້ວເຈີຍ



ຮູບທີ 4.2 ລັກມະນະເມັດແປ້ງໃນອາຫານວຸນແຊີງທີ່ພລມທີ່ອຸນກູມ  $50^{\circ}\text{C}$  ມາຍໃຕກລ້ອງຈຸລທຣຄນ່  
ຮຽມດາ (ຊ້າຍ) ແລະ ກລ້ອງຈຸລທຣຄນ່ທີ່ໃຊ້ແສງໂພລາໄຣ໌ (ຂວາ) ທີ່ກຳລັງຂໍຍາຍ  $\times 40$

### ตารางที่ 4.1 รูปร่างและลักษณะของเม็ดแบ่งดิบชนิดต่าง ๆ

แบบ	รูปร่างลักษณะ
ข้าวเหนียว	เม็ดเล็ก มีหลายเหลี่ยม เกาะกันเป็นกลุ่ม
ข้าวโพด	เม็ดใหญ่ บางเม็ดมี 4 – 5 เหลี่ยม บางเม็ดกลม
มันฝรั่ง	เม็ดยาวรี บริเวณผิวมีรูปคล้ายคริ่งวงกลม
ถั่วเขียว	เม็ดใหญ่ รูปร่างยาวรีคล้ายไข่ มีรอยแยกบนผิว

#### 4.1.2 การเจริญเติบโตและการย่อยแบ่งดิบของแบคทีเรียแลคโตบาซิลลัส

หลังจากที่แยกได้เชื้อเดียวบริสุทธิ์ของแบคทีเรียแลคโตบาซิลลัสทั้ง 15 ชนิดที่ผ่านการเพาะเลี้ยงเชื้อที่อุณหภูมิ  $37^{\circ}\text{C}$  เป็นเวลา 18 ชั่วโมง และนำไปทำการเพาะเลี้ยงเพื่อศึกษาความสามารถในการเจริญเติบโตในอาหารแข็งที่ใช้แบ่งข้าวเหนียว แบ่งข้าวโพด แบ่งมันฝรั่ง และ แบ่งถั่วเขียว ที่เป็นส่วนประกอบในอาหารเลี้ยงเชื้อที่ใช้แทนกลูโคสที่เป็นแหล่งคาร์บอนของเชื้อที่ใช้ในปริมาณ 2% (w/v) ผลการทดลองพบว่า แลคโตบาซิลลัสทั้ง 15 ชนิด มีความสามารถในการเจริญและความสามารถในการย่อยแบ่งทั้ง 4 ชนิดได้แตกต่างกัน (ตารางที่ 4.2)

จากการทดสอบเพื่อหาความสามารถในการเจริญเติบโตและการย่อยแบ่งดิบทั้ง 4 ชนิดของแบคทีเรียแลคโตบาซิลลัสทั้ง 15 ชนิดบนอาหารแข็งที่ใช้แบ่งดิบเป็นแหล่งคาร์บอนแทนน้ำตาลกลูโคสพบว่าแบคทีเรียแลคโตบาซิลลัสเกือบทุกสายพันธุ์ที่นำมาใช้ในการทดลองนั้นสามารถเจริญบนอาหารแข็งที่มีแบ่งดิบเป็นส่วนผสมได้ เพียงแต่มีความแตกต่างกันที่ระดับความสามารถในการเจริญเติบโตโดยพิจารณาได้จากความหนาของโคลนีบนอาหารในกรณีของกลูโคสและแบ่งมันฝรั่งตามลำดับ (รูปที่ 4.3-4.4)

ตารางที่ 4.2 การเจริญเติบโตและการย่อยแบ়งคีบของแบคทีเรียแลคโตบაซิลลัสในอาหารเลี้ยงเชื้อที่มี  
แบ়งคีบ 2% w/v เป็นแหล่งคาร์บอนแทนน้ำตาลกูลูโคส

แบ়งคีบ <i>Lactobacillus spp.</i>	กูลูโคส	ข้าวเหนียว	ข้าวโพด	มันฝรั่ง	ถั่วเขียว
<i>L. acidophilus</i>	+++	++	+++	++	+++
<i>L. amylovorus</i>	+	++++	++++	+++	++
<i>L. bulgaricus</i>	+++	+	++	++	++
<i>L. brevis</i> (subsp. <i>brevis</i> )	+	+	+	++	+
<i>L. casei</i>	+++	+	++	+++	+
<i>L. cellobiosus</i>	+++	++	++	+++	+++
<i>L. delbrueckii</i> (subsp. <i>bulgaricus</i> )	+++	+	+	++	+
<i>L. delbrueckii</i> (subsp. <i>lactis</i> )	+++	++	+	+	++
<i>L. fermentum</i>	++	+	+	+++	+
<i>L. halotolerans</i>	++	++	+	++	+
<i>L. jensenii</i>	+++	+	++	+++	+
<i>L. lactis</i>	+++	+	+	+++	++
<i>L. plantarum</i>	+++	++	+++	+++	+++
<i>L. sake</i>	+	+	+	++	+
<i>L. salivarius</i> (subsp. <i>salivarius</i> )	+	+	+	+++	+

หมายเหตุ: - ไม่มีการเจริญของเชื้อ  
+ การเจริญของเชื้อน้อย  
++ การเจริญของเชื้อปานกลาง  
+++ การเจริญของเชื้อมาก  
++++ การเจริญของเชื้อมากและเกิดวงศ์

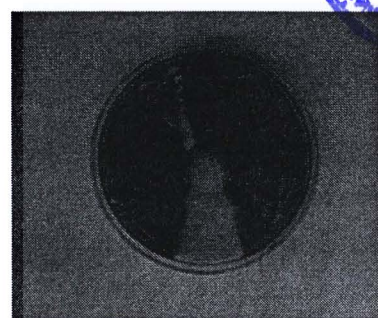


รูปที่ 4.3 การเจริญของ *Lactobacillus* spp. บนอาหารแข็งที่มีกลูโคสเป็นแหล่งคาร์บอน

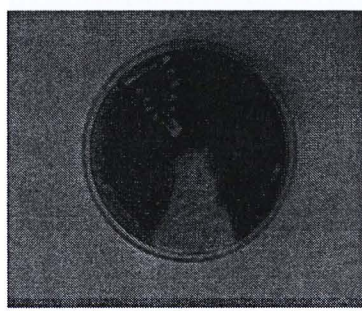
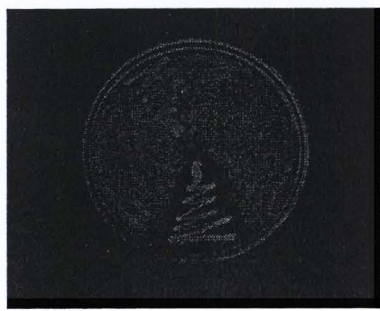


รูปที่ 4.4 การเจริญของ *Lactobacillus* spp. บนอาหารแข็งที่มีแป้งมันฟรังติบเป็นแหล่งคาร์บอน

เมื่อพิจารณาในประเด็นการย่อยแป้งนอกเหนือไปจากการเจริญเติบโตซึ่งเชื้อทุกตัวสามารถเจริญเติบโตได้นั้น จากการศึกษาในครั้งนี้พบว่ามีเพียงแบคทีเรีย *L. amylovorus* ชนิดเดียวเท่านั้นที่มีความสามารถเจริญบนอาหารแข็งที่มีแป้งข้าวโพด และแป้งข้าวเหนียวติดบัวได้พร้อมกับมีความสามารถในการย่อยแป้งได้จนเกิดวงใส (clear zone) และเมื่อทดสอบว่ายังคงมีแป้งคงเหลืออยู่หรือไม่โดยการใช้กรีทีช่อง Michael และ Pelezar (1995) ด้วยการหยดสารละลายไอโอดีนลงบนอาหารแป้ง ปรากฏว่าวางใจครอบ ๆ โคลนีจะไม่เปลี่ยนเป็นสีน้ำเงินซึ่งแสดงว่าไม่มีแป้งอยู่ในบริเวณนั้นทำให้สามารถสรุปได้ว่ามีการย่อยแป้งเกิดขึ้น แต่พื้นที่นอกอกไบยังคงปรากฏเป็นสีน้ำเงินซึ่งแสดงถึงว่ายังคงมีแป้งอยู่ (รูปที่ 4.5-4.6) ที่แยกให้เห็นชัดขึ้นเมื่อมีเชื้อ *L. amylovorus* อยู่ชนิดเดียว ซึ่งผลการทดลองในครั้งนี้สอดคล้องกับรายงานการวิจัยที่มีการศึกษาของ Giraud และคณะ (1994) ที่พบว่า *L. amylovorus* เป็นแบคทีเรียแอลกอติกสายพันธุ์ที่สามารถย่อยแป้งได้



ແປ້ງຂ້າວເໜືອຍາ

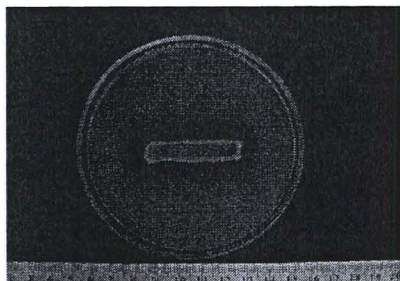


ແປ້ງຂ້າວໂພດ

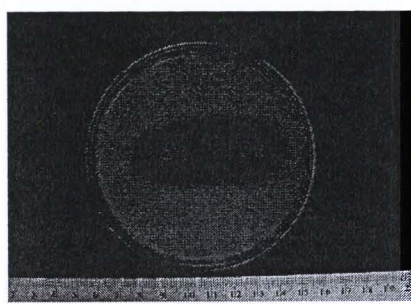
ກ່ອນຫຍດໄອໂອດິນ

ທລັງຫຍດໄອໂອດິນ

ຮູບທີ 4.5 ການເຈົ້າຢູ່ແລະກາຍ່ອຍແປ້ງຂອງ *L. amylovorus* ບນອາຫາດແຊັ້ນທີ່ມີແປ້ງຂ້າວເໜືອຍາແລະ  
ແປ້ງຂ້າວໂພດເປັນແລ້ວກຳນົດ (ບຣິເວນໄສ)



ແປ້ງຂ້າວເໜືອຍາ



ແປ້ງຂ້າວໂພດ

ກ່ອນຫຍດໄອໂອດິນ

ທລັງຫຍດໄອໂອດິນ

ຮູບທີ 4.6 ຄວາມສາມາດຄືໃນກາຍ່ອຍແປ້ງຂ້າວເໜືອຍາແລະແປ້ງຂ້າວໂພດຂອງ *L. amylovorus*

จากความสามารถในการเจริญเติบโตและการย่อยแบ่งข้าวเหนียวและแบ่งข้าวโพดที่เกิดมีเป็นวงไลล์้อมรอบเชื้อ *L. amylovorus* ทำให้ภิเคราะห์ได้ว่าแบ่งทั้งสองชนิดนี้มีความเหมาะสมที่จะนำไปเตรียมให้อยู่ในรูปแบบที่เหมาะสมต่อไปเพื่อนำส่งแบ่งให้ใบสูตร้ำใส่ใหญ่โดยรูปแบบนี้สามารถป้องกันไม่ให้แบ่งหลุดออกของมาในบริเวณกระเพาะอาหารและลำไส้เล็กแต่สามารถที่จะปลดปล่อยแบ่งในบริเวณลำไส้ใหญ่เพื่อให้เชื้อจำพวก probiotics ที่อยู่ในบริเวณนั้นใช้เป็นอาหารและมีการผลิตพวกกรดไขมันสายลับที่เป็นประโยชน์ต่อไป ดังนั้นในการทดลองศึกษาขั้นตอนต่อไปจึงมีการเคลือบหรือปอกบongแบ่งเพื่อพัฒนาเป็นผลิตภัณฑ์เพื่อส่งเสริมสุขภาพต่อไป โดยจะต้องสามารถทนต่อการถูกย่อยจากกรดในกระเพาะอาหารและน้ำย่อยในลำไส้เล็กและสามารถผ่านเข้าไปยังลำไส้ใหญ่และปล่อยแบ่งออกมากทำให้สามารถที่จะใช้เป็นแหล่งอาหารสำหรับจุลินทรีย์พอกโพรงโอดิก (Probiotics) ได้ ซึ่งสามารถที่จะเพิ่มมูลค่าให้กับแบ่งให้อยู่ในรูปอาหารเสริมสุขภาพ ดังนั้นจากการทดลองศึกษาครั้งนี้จึงเลือกใช้แบ่งข้าวเหนียวเป็นตัวอย่างในการศึกษาในขั้นตอนต่อไปเนื่องจากผลการทดลองที่ปรากฏว่าเหมาะสมสมสำหรับการเจริญเติบโตและถูกย่อยได้โดยเชื้อจุลินทรีย์พอกโพรงโอดิกที่ใช้ในการทดลองอีกทั้งแบ่งข้าวเหนียวที่มาจากข้าวเหนียวซึ่งเป็นข้าวที่นิยมบริโภคกันมากของจากข้าวจ้าวโดยเฉพาะประชากรที่อาศัยอยู่ในพื้นที่ภาคเหนือและภาคตะวันออกเฉียงเหนือ

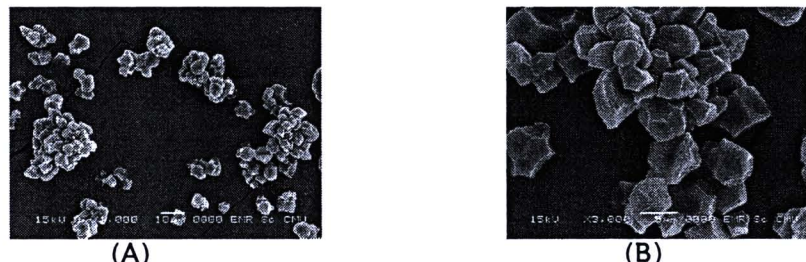
#### 4.2 ลักษณะโครงสร้างของแบ่งข้าวเหนียว

##### 4.2.1 ลักษณะภายในตัวกล้องจุลทรรศน์

ลักษณะของแบ่งข้าวเหนียวที่ส่องดูภายใต้กล้องจุลทรรศน์แบบธรรมดามีลักษณะเป็นเม็ดเหลี่ยม ๆ เล็ก ๆ เกาะกันเป็นกลุ่ม มีขนาดประมาณ 3 – 5 ไมครอน และเมื่อส่องดูภายใต้กล้องจุลทรรศน์แบบใช้แสงโพลาไรซ์พบว่าเม็ดแบ่งจะมีคุณสมบัติการบิด反แสงโพลาไรซ์ (Birefegence) เห็นเป็นรูปกาลباด (Maltese cross) ได้อย่างชัดเจน ดังแสดงในรูปที่ 4.1

##### 4.2.2 ลักษณะภายในตัวกล้องจุลทรรศน์อิเล็กตรอน

ผลการทดลองพบว่าแบ่งข้าวเหนียวจากกล้องจุลทรรศน์อิเล็กตรอน ส่วนใหญ่จะมีขนาดเล็กและเกาะกลุ่มกันเป็นก้อน มีลักษณะหลายเหลี่ยม พื้นผิวค่อนข้างเรียบ (รูปที่ 4.7)



รูปที่ 4.7 ลักษณะเม็ดแบ่งข้าวเหนียวภายใต้กล้องจุลทรรศน์อิเล็กตรอน

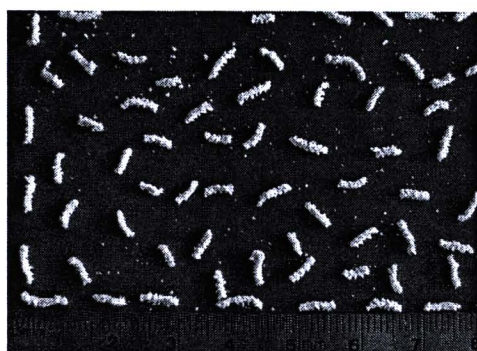
(A) x1000 (B) x3000

### 4.3 ประเมินคุณสมบัติของแกรนูล

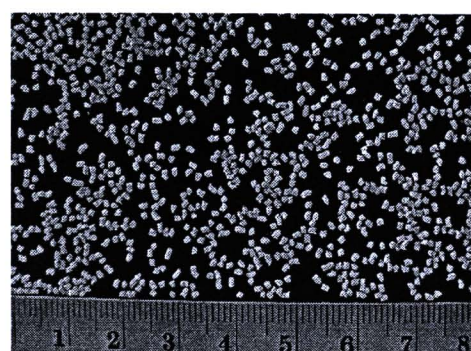
หลังจากที่มีการนำแบ่งข้าวเหนียวที่มีผลการศึกษาว่า *L. amylovorus* สามารถใช้เป็นแหล่งคาร์บอนเพื่อใช้ในการเจริญเติบโตและสามารถย่อยได้ด้วย ชี้งเตรียมในรูปของแกรนูลเพื่อพัฒนาเป็นผลิตภัณฑ์เพื่อส่งเสริมสุขภาพต่อไป ได้มีการตรวจสอบคุณสมบัติของแกรนูลที่เตรียมขึ้นได้ผลดังนี้

#### 4.3.1 ลักษณะภายนอกของแกรนูล

ขนาดของแกรนูลแบ่งข้าวเหนียวที่เตรียมขึ้นโดยใช้ PVP K – 90 เป็นสารช่วยยึดเกาะในรูปของสารละลายน 10 % w/v เพื่อให้ได้ก้อนผสมที่เปียกพอเหมาะสมและนำไปกดผ่านแร่เงินเบอร์ 16 และนำไปอบแห้งจะได้แกรนูลที่มีขนาดความยาวมากกว่าแกรนูลที่ผ่านการลดขนาดด้วยแร่เงินเบอร์ 20 ประมาณ 5-6 เท่า (รูปที่ 4.8)



ก่อนลดขนาด



หลังลดขนาด

รูปที่ 4.8 ลักษณะและขนาดของแกรนูลแบ่งข้าวเหนียวก่อนและหลังการลดขนาดด้วยแร่เงินเบอร์ 20

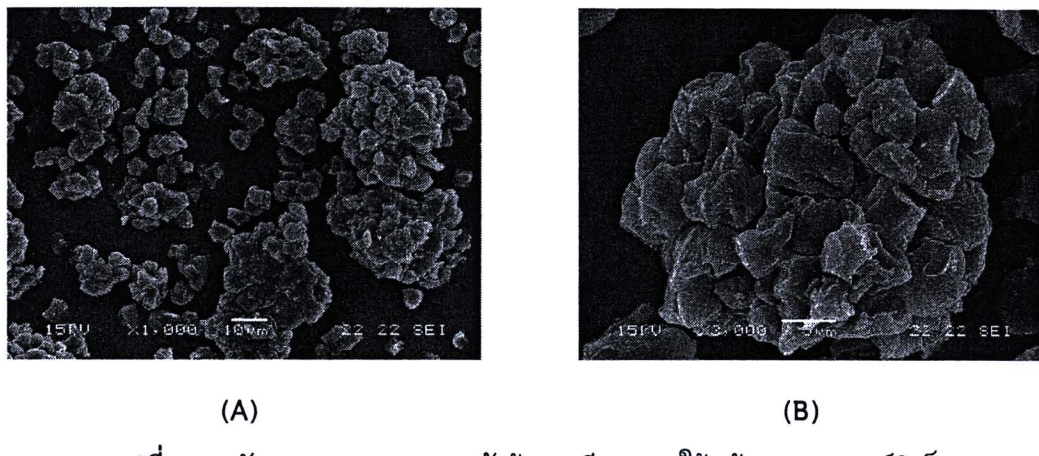
#### 4.3.2 ลักษณะของแกรนูลภายใต้กล้องจุลทรรศน์อิเล็กตรอน

ในการดูลักษณะภายใต้กล้องจุลทรรศน์อิเล็กตรอนได้นำแกรนูลขนาด 20 mesh ไปบดให้มีขนาดเล็กลงแล้วจึงนำไปส่องด้วยไฟฟ้าภายใต้กล้องจุลทรรศน์อิเล็กตรอน พบร่วมโดยทั่วไปลักษณะรูปร่างและโครงสร้างของเม็ดแบ่งจะเหมือนกับของแบ่งข้าวเหนียวดิบ แต่จะมีลักษณะที่ต่างไปจากเดิมคือมีลักษณะของการเกาะกลุ่มกันของเม็ดแบ่งเป็นจำนวนมากและมีขนาดของกลุ่มที่ใหญ่ (รูปที่ 4.9)

#### 4.3.3 ความแข็งของแกรนูล

จากการวัดความแข็งของแกรนูลแบ่งข้าวเหนียวที่คัดขนาด 20 mesh โดยความแข็งของแกรนูลที่วัดได้จากการวางตุ้มน้ำหนักบนแกรนูลเริ่มตั้งแต่ตุ้มน้ำหนักน้อยไปจนถึงตุ้มน้ำหนักมากที่ทำให้

แกรนูลนั้นแตกออก โดยใช้ตัวอย่างรวมทั้งสิ้น 50 แกรนูล จากการศึกษาพบว่า แกรนูลขนาด 20 mesh ที่เตรียมได้ในครั้งนี้มีค่าความแข็ง  $289.45 \pm 21.24$  กรัม เป็นระดับความแข็งของแกรนูลแบ่งที่ใช้ PVP K-90 (10% w/w) เป็นสารช่วยยึดเกาะโดยใช้น้ำเป็นตัวทำละลาย นอกจากได้แกรนูลที่มีความแข็งและเมื่อทดสอบในเบื้องต้นพบว่าสามารถแตกตัวได้ด้วย PVP นอกจากช่วยในการยึดเกาะยัง มีคุณสมบัติที่สามารถดูดซึมน้ำเข้าหาตัวได้ดีทำให้ส่งเสริมการแตกตัวของแกรนูลได้ในเวลาที่เหมาะสมอีกด้วย



รูปที่ 4.9 ลักษณะของแกรนูลแบ่งข้าวเหนียวภายใต้กล้องจุลทรรศน์อิเล็กตรอน  
(A) x1000 (B) x3000

#### 4.3.4 ความกร่อนของแกรนูล

หลังจากนำแกรนูลจำนวน 50 เม็ด มาทดสอบหาเบอร์เซ็นต์ความกร่อน ผลการทดลองพบว่าแกรนูลมีค่าความกร่อนเฉลี่ยอยู่ที่ 0.37 % โดยทำการทดลองซ้ำ 3 ครั้ง ค่าความกร่อนที่ได้มีค่าไม่เกินกว่าเกณฑ์ที่กำหนดไว้โดยไม่เกิน 0.8% ตาม BP 1993 ซึ่งคาดว่ามีความเหมาะสมที่จะนำไปเคลือบในขั้นตอนต่อไป

#### 4.4 การเคลือบแกรนูลแบ่งข้าวเหนียว

หลังจากที่ได้มีการศึกษาถึงความเหมาะสมของแกรนูลที่เตรียมขึ้นโดยศึกษาคุณสมบัติในด้านต่างๆ โดยเฉพาะทางด้านความแข็งและความกร่อนของตัวแกรนูลซึ่งมีความเหมาะสมที่จะนำไปเคลือบโดยเฉพาะ มีความกร่อนต่ำ เพื่อนำไปศึกษาและพัฒนาเป็นผลิตภัณฑ์ทางส่งเสริมสุขภาพต่อไป นอกจากนั้นเพื่อให้การเตรียมมีความสม่ำเสมอจึงทำการคัดเลือกให้ได้แกรนูลที่มีขนาดใกล้เคียงกันมากขึ้นอีกครั้งหนึ่งจากแกรนูลที่เตรียมได้ทั้งหมดหลังการลดขนาดโดยเครื่อง oscillating granulator โดยทำการคัดเอาเฉพาะแกรนูลที่ค้าง

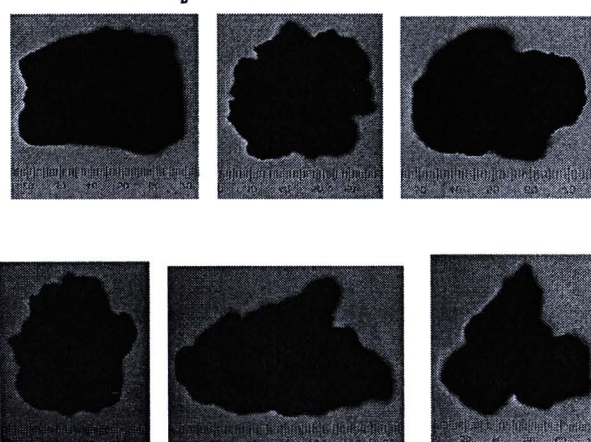
อยู่บนแร่ขนาด 20 mesh เท่านั้นเก็บไว้ศึกษาสำหรับการเคลือบในขั้นตอนต่อไปโดยการเคลือบพิล์มและเคลือบเจลาติน

#### 4.4.1 การเคลือบพิล์มแกรนูล

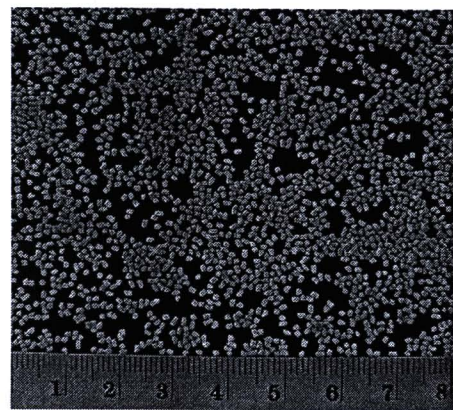
หลังจากการเคลือบแกรนูลแบ่งโดยวิธีการเคลือบพิล์มซึ่งในการเคลือบครั้งนี้ได้ใช้ Eudragit<sup>®</sup> L100 และ Eudragit S<sup>®</sup>100 ในสัดส่วนของพอลิเมอร์ทั้งสองชนิดเป็น 1:1 ตามสูตรของน้ำยาที่กำหนดไว้ โดย Eudragit<sup>®</sup> ทั้งสองชนิดที่ใช้จะทำหน้าที่ปกป้องแกรนูลที่อยู่ภายในโดยชีวน้ำกับความเป็นกรด-เบส การเคลือบพิล์มด้วยพอลิเมอร์โดยใช้เครื่อง Glatt ทำการเคลือบตามสภาพที่ได้กำหนดไว้ และทำการสุ่มเก็บตัวอย่างแกรนูลที่ถูกเคลือบตามน้ำหนักของแกรนูลที่เพิ่มขึ้นตามน้ำหนักที่เพิ่มขึ้น 25, 50 และ 100% จากน้ำหนักเริ่มต้นของแกรนูลก่อนเคลือบ

##### 4.4.1.1 ลักษณะทางกายภาพของแกรนูลแบ่งที่เคลือบด้วยพิล์ม

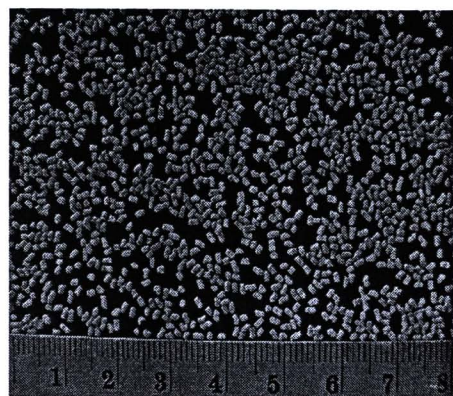
ลักษณะและรูปร่างของแกรนูลก่อนการเคลือบภายในได้กล้องจุลทรรศน์ (รูปที่ 4.10) จะมีลักษณะที่ไม่กลม ชุรุยะ และรูปร่างที่แตกต่างกันออกไป สำหรับแกรนูลที่เคลือบได้ (รูปที่ 4.11) จะมีขนาดที่ใหญ่ขึ้นตามน้ำหนักที่เพิ่มขึ้นโดยมีลักษณะเช่นเดียวกันกับแกรนูลก่อนเคลือบ คือลักษณะของแกรนูลเคลือบจะมีขนาดและรูปร่างแตกต่างกันออกไป เมื่อนำแกรนูลที่เคลือบที่มีความหนาต่างๆ กันนี้ไปศึกษารูปร่างลักษณะโดยใช้กล้องจุลทรรศน์อิเล็กตรอนชนิดล่องกราด (SEM) พบร่วงจะเห็นชั้นของพิล์มที่เคลือบแกรนูลได้อย่างชัดเจน โดยความหนาของชั้นพิล์มที่เคลือบแกรนูลจะเพิ่มขึ้นตามเปอร์เซ็นต์น้ำหนักแกรนูลที่เพิ่มขึ้น อย่างไรก็ตามพิล์มที่เคลือบอยู่รอบแกรนูลจะมีความหนาที่ไม่สม่ำเสมอทั่วทั้งเม็ดแกรนูล ซึ่งเป็นผลเนื่องมาจากการเคลือบก่อนการเคลือบที่มีขนาดรูปร่างไม่กลมและพื้นผิวที่ชุรุยะ ทำให้พิล์มที่เกิดขึ้นที่ไปเคลือบผิวแกรนูลไม่สม่ำเสมอไปด้วย (รูปที่ 4.12)



รูปที่ 4.10 ลักษณะภายในได้กล้องจุลทรรศน์ของแกรนูลก่อนการเคลือบ



(ก)

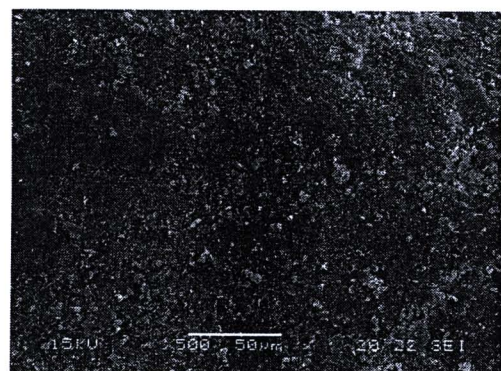


(ก)

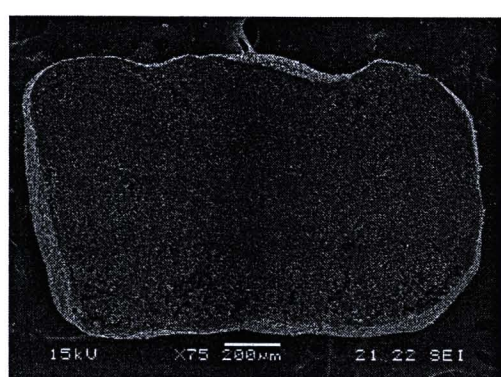


(ก)

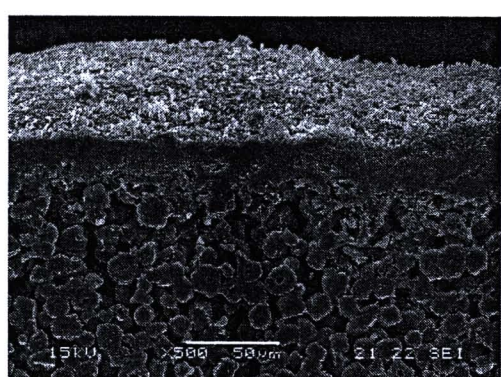
รูปที่ 4.11 ลักษณะและรูปร่างแกรนูลแบ็งที่เคลือบด้วย Eudragit<sup>®</sup> L100 – S 100 (1:1)  
ตามน้ำหนักที่เพิ่มขึ้น (ก) 25 % (ข) 50 % (ค) 100% จากน้ำหนักเริ่มต้น



(ก)

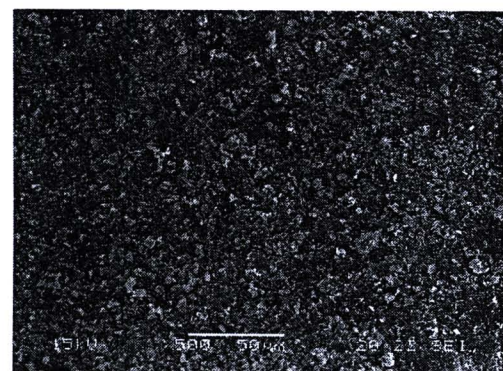


(ข)

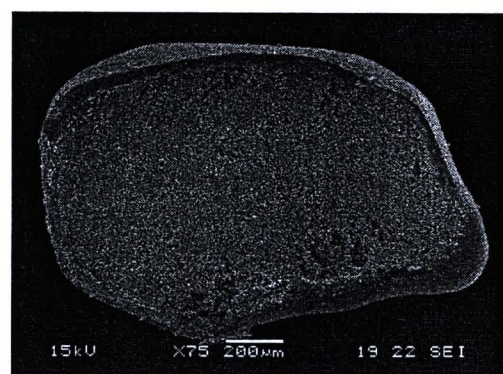


(ค)

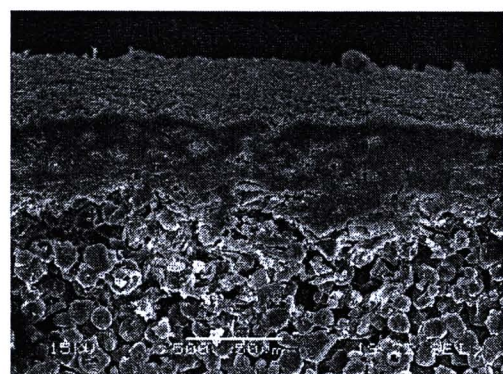
รูปที่ 4.12 ลักษณะแกรนูลเคลือบด้วยพิล์ม Eudragit<sup>®</sup> L100 – S100 (1:1) ที่มีน้ำหนักเพิ่มขึ้น 25% ภายใต้กล้องจุลทรรศน์อิเล็กตรอน (ก) พื้นผิวภายนอก (ข) ภาคตัดขวาง (x75) (ค) ภาคตัดขวาง (x500)



(ก)

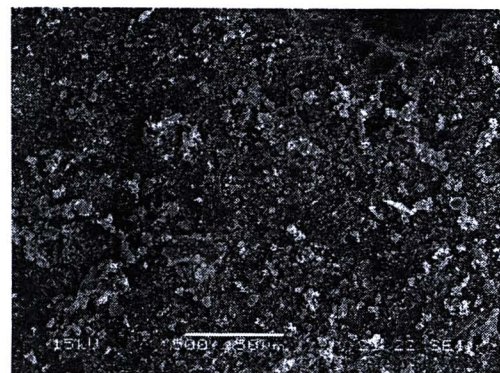


(ข)

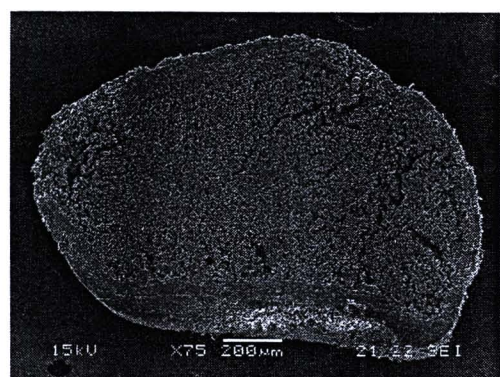


(ค)

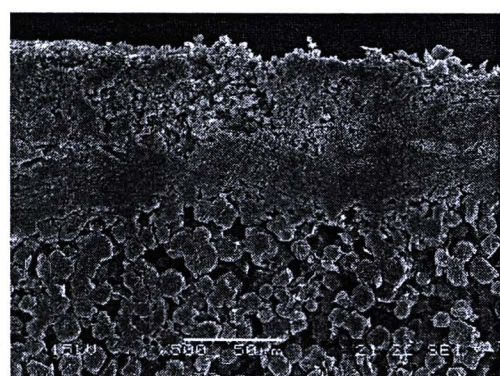
รูปที่ 4.12 (ต่อ) ลักษณะแกรนูลเคลือบด้วยพิล์ม Eudragit<sup>®</sup> L100 – S100 (1:1) ที่มีน้ำหนักเพิ่มขึ้น 50% ภายใต้กล้องจุลทรรศน์อิเล็กตรอน (ก) พื้นผิวภายนอก (ข) ภาคตัดขวาง (x75) (ค)  
ภาคตัดขวาง (x500)



(ก)



(ข)



(ค)

รูปที่ 4.12 (ต่อ) ลักษณะแกรนูลเคลือบด้วยพิล์ม Eudragit<sup>®</sup> L100 – S100 (1:1) ที่มีน้ำหนักเพิ่มขึ้น 100% ภายใต้กล้องจุลทรรศน์อิเล็กตรอน (ก) พื้นผิวภายนอก (ข) ภาคตัดขวาง (x75) (ค)  
ภาคตัดขวาง (x500)

#### 4.4.1.2 การทดสอบการทนต่อน้ำย่อยเสมือนในร่างกายของแกรนูลเคลือบพิล์ม

การนำแกรนูลเคลือบจำนวน 100 แกรนูลเพื่อทดสอบความสามารถของแกรนูลเคลือบในการทนต่อน้ำย่อยเสมือนของทางเดินอาหาร ผลการศึกษาพบว่าแกรนูลแบ่งที่เคลือบด้วยพิล์ม Eudragit L 100 – S 100 ในอัตราส่วน (1:1) ที่มีความหนาต่างๆ กันโดยคุณภาพน้ำหนักที่เพิ่มขึ้น 25, 50 และ 100% จากน้ำหนักเริ่มต้นที่ยังไม่ได้เคลือบ ไม่ว่าจะมีความหนาของพิล์มเป็นเท่าใดก็ไม่สามารถทนต่อน้ำย่อยเสมือน สภาวะกรด HCl 0.1 N. pH 1.2 ที่ใช้เวลา 2 ชั่วโมงในการทดสอบได้นั่นคือมีการร้าวออกของแบ้งออกมาได้โดยทดสอบด้วยการหยดสารละลายไอโอดีนพบว่ามีการเปลี่ยนเป็นสีน้ำเงินเข้มจนถึงดำ ซึ่งแสดงถึงการที่มีแบ়งอยู่ในน้ำยาที่ถูกทดสอบและมีการร้าวออกมากของแบ়งเป็นจำนวนมาก (รูปที่ 4.13) ซึ่งแสดงการร้าวออกของแบ়งจากแกรนูลเคลือบทั้งสามกลุ่มที่มีความหนาของการเคลือบที่ทึน้ำหนักของแกรนูลที่เพิ่มขึ้น 25, 50 และ 100% ของน้ำหนักเริ่มต้น

เมื่อนำแกรนูลเคลือบที่มีการร้าวออกของแบ়งมาตรวจสอบลักษณะทางกายภาพพบว่าสิ่งที่สังเกตเห็นได้ด้วยตาเปล่าคือ จะมีรูเล็ก ๆ บนผิวของแกรนูลที่ติดสีน้ำเงินและมีผงแบ়งที่เปลี่ยนเป็นสีน้ำเงิน-ดำเกาะติดอยู่ตามรูเล็ก ๆ เหล่านั้น (รูปที่ 4.14) ซึ่งคาดว่ารูเล็ก ๆ เหล่านี้จะเป็นช่องทางให้มีการซึมเข้าของกรด HCl เนื่องจากผลของการเคลือบแกรนูลโดยวิธีการพ่นสารละลายเคลือบลงบนเม็ดแกรนูล (film coating) ที่มีรูปร่างไม่กลมอีกทั้งพื้นผิวยังขรุขระ ทำให้แกรนูลแต่ละเม็ดได้รับน้ำยาเคลือบไม่สม่ำเสมอทั่วทั้งเม็ดแกรนูลเป็นผลทำให้ระดับความหนาของพิล์มที่เคลือบไม่เท่ากันทั่วทั้งแกรนูล จุดที่พบรอยร้าวบนผิวและมีแบ়งเกาะติดอยู่อาจจะเป็นจุดที่ความหนาของพิล์มที่บางและหนาไม่เพียงพอตลอดจนคุณภาพของพิล์มอาจยังมีช่องหรือรูที่พิล์มอยู่ จึงเป็นช่องทางให้กรดแทรกซึมเข้าไปและทำให้แบ়งร้าวออกมาได้ถึงแม้ว่าพอลิเมอร์ทั้งสองชนิดจะไม่สามารถละลายในสภาพที่เป็นกรด ผลการทดลองนี้แสดงคล้องกับการสังเกตในเบื้องต้นจากการศึกษาสมบัติทางกายภาพของแกรนูลแบ়งที่เคลือบได้โดยใช้กล้องจุลทรรศน์อิเล็กตรอนที่พบว่าความหนาของพิล์มพอลิเมอร์ที่เคลือบไม่เท่ากันทั่วทั้งเม็ด ส่วนที่เคลือบได้บางอาจจะเป็นจุดที่ไม่สามารถทนต่อการสัมผัสกับกรด จึงเป็นไปได้ว่าการใช้พอลิเมอร์เคลือบแบ়งในรูปแกรนูลอาจจะเป็นวิธีที่ไม่เหมาะสม ในการศึกษาต่อไปอาจจะมีการเปลี่ยนผงแบ়งให้อยู่ในรูปแบบที่เหมาะสมที่ไม่ใช่แกรนูลในลักษณะที่ใช้ในการทดสอบครั้งนี้ เช่นอาจทำให้อยู่ในรูปของเม็ดกลมเพลทซึ่งจะมีลักษณะที่กลมมากและพื้นผิวที่เรียบกว่าเป็นอันมากที่กระบวนการมีการนวดและบีบให้เรียบ หรืออาจจะมีการพัฒนาเนื้ายานในการเคลือบพิล์มให้มีความเหมาะสมหรือมีความหนาต่อสภาวะกรด-เบสได้ดีขึ้น การศึกษาในครั้งนี้ไม่ได้ทำการทดสอบในน้ำยาเสมือนในลำไส้เล็กและลำไส้ใหญ่ลำดับต่อไป เนื่องจากผลจากการเคลือบที่มีความหนาต่างกันจากน้ำหนักของแกรนูลที่เพิ่มขึ้นไม่มีประสิทธิภาพพอที่จะทำการทดสอบในสภาวะต่อไป



(ก)

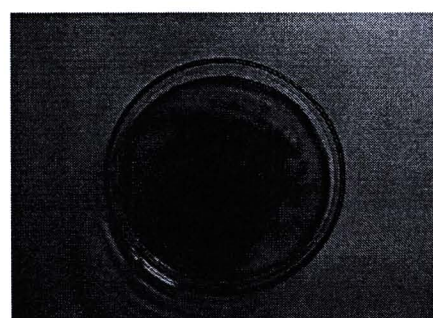


(x)



(ก)

ก้อนหยดไอโอดีน



หลังหยดไอโอดีน

รูปที่ 4.13 การรั่วออกของแป้งจากแกรนูลที่เคลือบด้วย Eudragit L 100 – S 100 (1:1) หลังผ่านการทดสอบใน 0.1 N. HCl pH 1.2 นาน 2 ชั่วโมง จากแกรนูลที่มีนาหนักเพิ่มขึ้น (ก) 25 %  
(x) 50% (ค) 100%



รูปที่ 4.14 รูร้าวเล็ก ๆ (แสดงในวงกลม) ที่ตรวจพบได้ด้วยตาเปล่าบนผิวของแกรนูลเคลือบพิล์ม

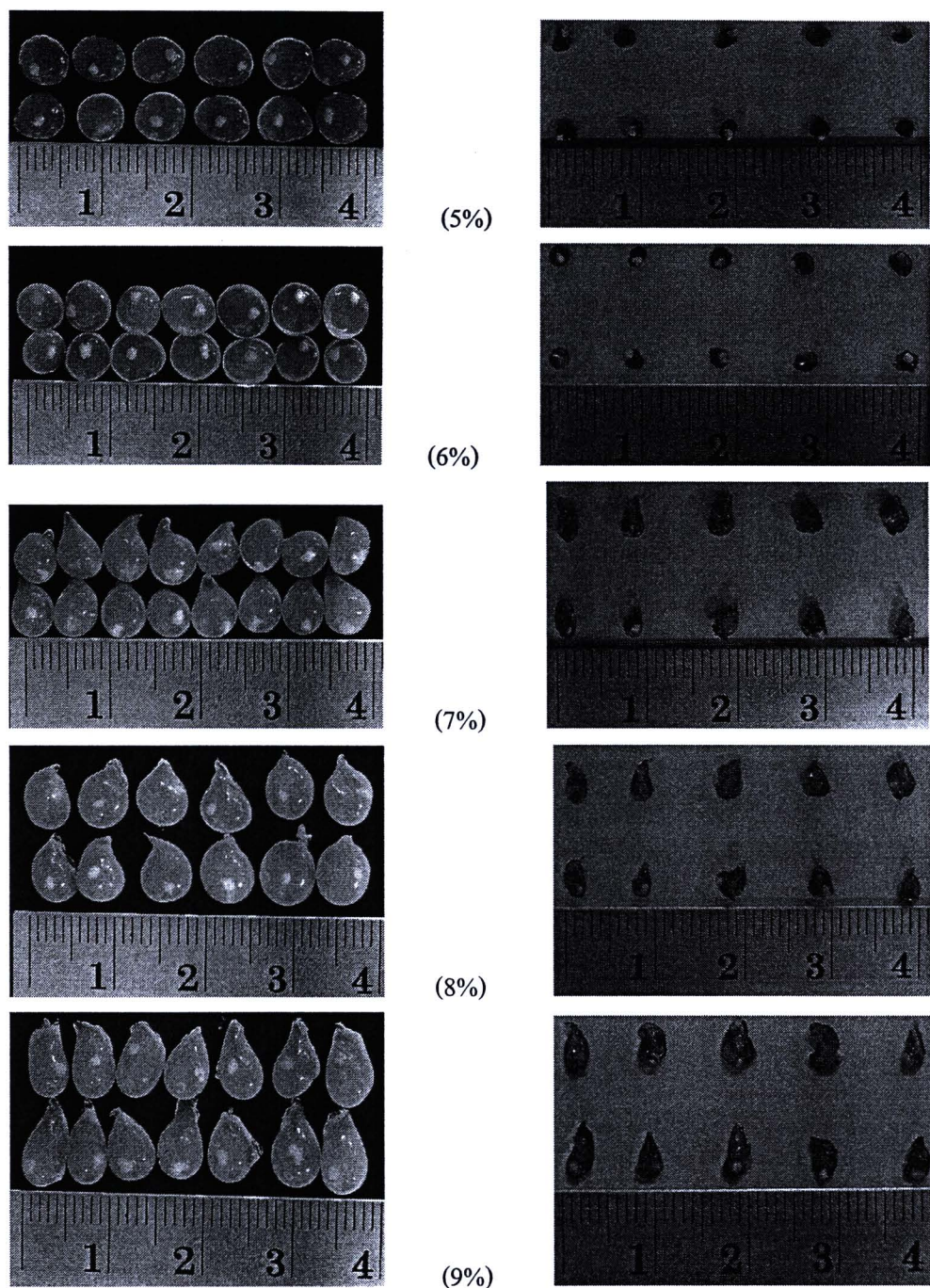
#### 4.4.2 การเคลือบแกรนูลด้วยวิธี ionotropic gelation technique

แกรนูลที่ทำการเคลือบด้วยเพคตินโดยอาศัยวิธี ionotropic gelation technique มีการนำไปตรวจสอบด้านต่างๆ ได้ผลเป็นดังนี้

##### 4.4.2.1 ลักษณะทางกายภาพของแกรนูลแบ่งที่เคลือบด้วยเพคติน

แกรนูลแบ่งข้าวเหนียวที่เคลือบด้วยเพคตินชนิด LC – 710 ที่เตรียมจากสารละลายความเข้มข้นของเพคตินที่มีความเข้มข้น 5, 6, 7, 8 และ 9% จะมีรูปร่างและลักษณะภายนอกที่มองเห็นได้ด้วยตาเปล่าแตกต่างกัน (รูปที่ 4.15)

รูปร่างและขนาดของแกรนูลที่เตรียมได้จากสารละลายเพคตินความเข้มข้น 5 และ 6% มีลักษณะที่คล้ายคลึงกันโดยมีลักษณะรูปกลมและแบบเล็กน้อย โดยมีแกรนูลแบ่งอยู่ภายในจำนวน 1 แกรนูลของแต่ละเม็ดที่เคลือบได้ โดยแกรนูลแบ่งที่บรรจุอยู่ภายในจะอยู่ในตำแหน่งที่แตกต่างกันออกไป สำหรับเม็ดเคลือบที่เตรียมได้จากสารละลายเพคตินที่ความเข้มข้น 7, 8 และ 9% มีรูปร่างที่คล้ายคลึงกันภายในกลุ่มนี้ โดยมีรูปร่างใกล้เคียงรูปทรงกลมในส่วนฐานแต่ส่วนหัวจะค่อนข้างเรียกว่าส่วนฐานซึ่งโดยส่วนรวมจะมีรูปร่างคล้ายรูปหยดน้ำ แกรนูลแบ่งอยู่ในตำแหน่งที่แตกต่างกัน เช่น กัน ในตารางที่ 4. 3 แสดงถึงน้ำหนักเปียก (wet weight) น้ำหนักแห้ง (dry weight) พร้อมทั้งแสดงค่า % น้ำหนักที่ลดลงไปของแกรนูลหลังผ่านการทำให้แห้ง การทดลองได้จากการค่าเฉลี่ยของแกรนูลจำนวน 50 แกรนูลซึ่งได้จากการสุ่ม



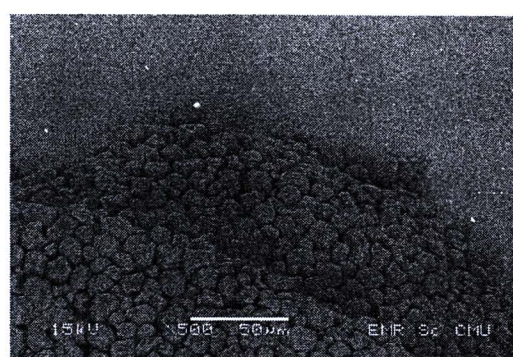
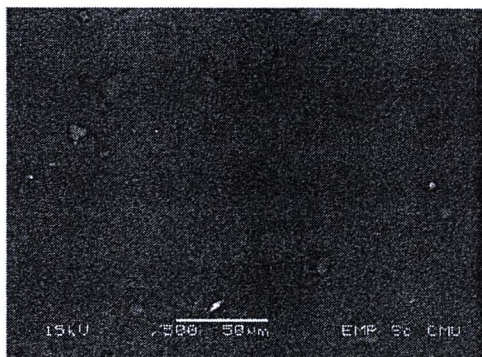
รูปที่ 4.15 ลักษณะการนุ่ลที่เคลือบด้วยเพคตินที่ระดับความเข้มข้น 5, 6, 7, 8 และ 9 %  
หลังการเตรียมขึ้นใหม่ (ภาพช้ำย) และหลังการอบแห้งที่อุณหภูมิ  $37^{\circ}\text{C}$  นาน 12 ชั่วโมง  
(ภาพขวา)

ตารางที่ 4. 3 น้ำหนักเปียก น้ำหนักแห้ง และน้ำหนักที่ลดลงของกรนูลเคลือบเพคติน ( $n = 50$ )

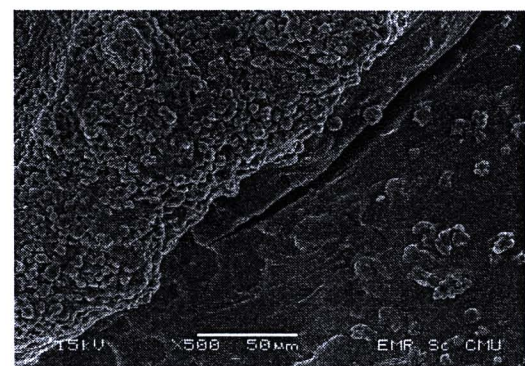
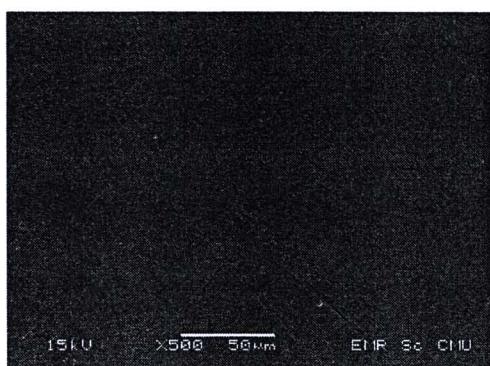
ความเข้มข้นเพคติน (w/w)	น้ำหนักเปียก (กรัม)	น้ำหนักแห้ง (กรัม)	% น้ำหนักที่ลดลง
5%	3.2149 ± 0.0201	0.1974 ± 0.0308	93.85% ± 6.17
6%	3.3398 ± 0.0272	0.2664 ± 0.0407	92.02% ± 9.08
7%	4.1553 ± 0.0340	0.4594 ± 0.0292	88.94% ± 20.04
8%	5.1295 ± 0.0142	0.5757 ± 0.0202	88.77% ± 7.23
9%	5.4529 ± 0.0109	0.6164 ± 0.0598	88.69% ± 19.85

จากการแสดงให้เห็นว่า น้ำหนักกรนูลเคลือบเพคตินไม่ร่ว่าน้ำหนักเปียกหรือน้ำหนักแห้งที่เพิ่มขึ้น จะปรับผันตรงกับปริมาณเพคตินที่ใช้ในการเตรียม โดยเรียงลำดับความเข้มข้นของเพคตินจากมากไปหาน้อยดังนี้คือ  $9\% > 8\% > 7\% > 6\% > 5\%$  ตามลำดับ ซึ่งสอดคล้องกับน้ำหนักที่ลดลงหลังทำให้แห้งที่ เป็นไปในทางตรงข้ามกับเบอร์เซนต์เพคตินที่เพิ่มขึ้นคือมีลำดับตรงข้ามกัน โดยมีลำดับดังนี้  $5\% > 6\% > 7\% > 8\% > 9\%$  สารละลายน้ำที่มีความเข้มข้นที่สูงจะมีความหนืดที่สูงตามขึ้นไปด้วย เมื่อผ่านการ Cross-link ในสารละลายน้ำ  $\text{CaCl}_2$  พบว่า เม็ดเคลือบที่ได้จากการหดตัวของกรนูลเคลือบเพคติน 5% และ 6% จะมีเนื้อผิวสัมผัสที่นุ่มนวลกว่า เม็ดเคลือบที่เตรียมได้จากการหดตัวของกรนูลเคลือบเพคติน 7%, 8% และ 9% ซึ่งเป็นไปได้ว่า ความเข้มข้นของเพคตินและเม็ดเคลือบที่เตรียมได้อาจจะมีคุณสมบัติในการทนต่อกรด-เบสของน้ำยาเสมือนของทางเดินอาหาร ซึ่งจะได้ทำการทดสอบในขั้นตอนต่อไป

ผลการศึกษาภายใต้กล้องจุลทรรศน์อิเล็กตรอน พบว่า เม็ดเคลือบเพคตินที่เตรียมได้จากการหดตัวของกรนูลเพคติน 5% และ 9% มีลักษณะผิวที่ค่อนข้างเรียบ เมื่อทำการศึกษาโดยตัดแบ่งครึ่งทางขวาง (Cross section) พบว่า มีเนื้อเพคตินหุ้มอยู่โดยรอบกรนูลและภายในมีเม็ดแบ่งเกาะกันเป็นกลุ่มก้อนอย่างแน่น (รูปที่ 4.16) แสดงว่า การเตรียมกรนูลแบ่งเคลือบด้วยเพคตินในครั้งนี้ เพคตินสามารถห่อหุ้มอยู่โดยรอบกรนูลแบ่ง 1 เม็ดได้เป็นอย่างดี มีความหนาของชั้นเคลือบที่หนาและไม่พบร่องรอยของช่องหรือร่องรอยของชั้นเคลือบ โดยคาดว่า สามารถที่จะทำหน้าที่ในการป้องกันแบ่งที่อยู่ภายในให้สามารถทนต่อสภาวะกรด-เบสที่มีสภาวะเหมือนในระบบทางเดินอาหารได้ โดยไม่เห็นความแตกต่างของโครงสร้างของกรนูลแบ่งเคลือบไม่ว่าจะศึกษาภายใต้กล้องจุลทรรศน์อิเล็กตรอนใน mode ของ low vacuum mode ที่ศึกษาตัวอย่างที่อยู่ในลักษณะที่ยังมีน้ำอยู่ เมื่อเปรียบเทียบกับ high vacuum mode ซึ่งต้องมีการเตรียมตัวอย่างให้แห้งก่อนที่จะนำมาศึกษาซึ่งก็ยังคงแสดงโครงสร้างที่สามารถจะป้องกันแบ่งที่อยู่ภายในได้



**Low vacuum mode**

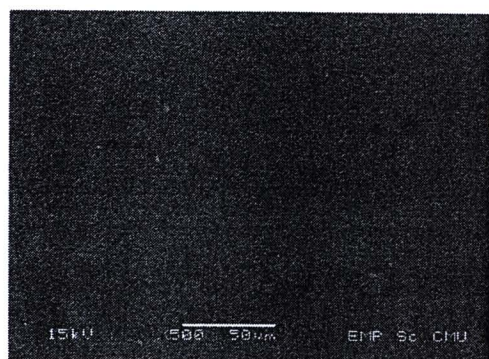
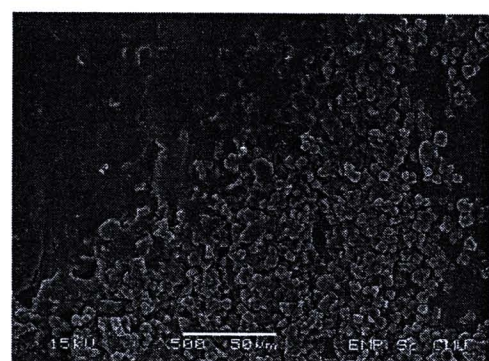
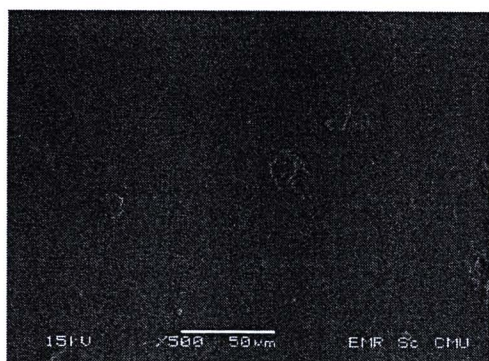


**High vacuum mode**

รูปที่ 4.16 ภาพจากกล้องจุลทรรศน์อิเล็กตรอนแสดงลักษณะพื้นผิวภายนอก (ซ้าย) และภาคตัดขวาง (ขวา) ของเม็ดเคลือบเพคตินจากสารละลายเพคตินความเข้มข้น 5% ที่กำลังขยาย  $\times 500$  ที่ low และ high vacuum mode

#### 4.4.2.2 การทดสอบการร้าวออกของแป้งจากเม็ดเคลือบเพคติน

การทดลองใน *in vitro* ครั้งนี้ได้ดัดแปลงโดยอ้างอิงการทดลองสภาวะเสมีองในสภาวะกรด-เบสของระบบทางเดินอาหารการทดลองของ Mura และคณะ (2003) และวิธีการทดสอบการปลดปล่อยยาของ Das และ Ng (2010) วิธีการเช่นเดียวกันกับที่ทดสอบกับเม็ดเคลือบพอลิเมอร์ลังเคราะห์ Eudragit<sup>®</sup> โดยในเบื้องต้นทดสอบในน้ำย่อยสภาพเสมีองกระเพาะอาหารตามเวลาที่กำหนด ต่อมาทดสอบในน้ำย่อยสภาพเสมีองของลำไส้เล็ก และขั้นสุดท้ายทดสอบความสามารถในการปลดปล่อยแป้งออกจากเม็ดเคลือบในน้ำย่อยเสมีองในลำไส้ใหญ่

**Low vacuum mode****High vacuum mode**

**รูปที่ 4.17** ภาพจากกล้องจุลทรรศน์อิเล็กตรอนแสดงลักษณะพื้นผิวภายนอก (ซ้าย) และภาคตัดขวาง (ขวา) ของเม็ดเคลือบเพคตินจากสารละลายน้ำมันความเข้มข้น 9% ที่กำลังขยาย  $\times 500$  ที่ low และ high vacuum mode

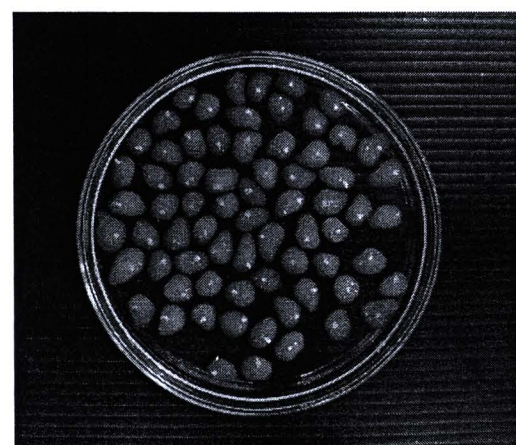
ผลการทดสอบพบว่าในตัวกลางที่มีกรด (0.1 N. HCl pH 1.2) เมื่อนำมาเม็ดเคลือบเพคตินในรูปแห้งที่เตรียมได้จากสารละลายน้ำมัน 5, 6, 7, 8 และ 9% ไปแช่และมีการเขย่าตกลอดเวลาในอ่างน้ำควบคุมอุณหภูมิที่  $37 \pm 0.2^\circ\text{C}$  นานเป็นเวลา 2 ชั่วโมง ซึ่งเป็นสภาพสมมูลที่กระเพาะอาหาร เมื่อครบเวลาและนำมาตรวจสอบพบว่าระดับการถูกทำลายของผิวเม็ดเคลือบที่เป็นเพคตินจะสัมพันธ์กับเบอร์เซ็นต์ความเข้มข้นของเพคตินที่ใช้เคลือบ โดยเม็ดเคลือบที่ได้จากการละลาย 5% เม็ดเคลือบมีระดับการถูกทำลายและมีการร้าวออกของแบ่งจากเม็ดเคลือบเพคตินในปริมาณที่ใกล้เคียงกับที่ได้จากการละลาย 6% แต่จะมากกว่าของเม็ดเคลือบที่เตรียมจากสารละลาย 7%, 8% และ 9% โดยพบว่าผิวเพคตินที่

เตรียมจากสารละลายน้ำ 5% และ 6% จะบางลงและมีลักษณะเป็นชั้นใสที่เกิดจากการพองตัวเมื่อแช่ในสารละลายน้ำที่ใช้ทดสอบ และพบมีการร้าวออกของแบงออกมาส่วนหนึ่งจากเม็ดเคลือบเพคติน แสดงว่าการเคลือบที่มีการใช้สารละลายน้ำเพคตินในความเข้มข้น 5% และ 6% อาจมีเนื้อเพคตินที่ไม่มากพอนมีความสามารถทนทานต่อกรดได้ด้าน 2 ชั่วโมง โดยพบการร้าวออกของแบงในสภาวะกรดจากเม็ดเคลือบในจำนวน  $57.66 \pm 2.51$  และ  $40 \pm 9.16$  เม็ด จากกรนูลเคลือบที่ใช้ทดสอบทั้งหมด 100 เม็ดที่ใช้ในการทดลองตามลำดับ แต่เมื่อเพิ่มระดับความเข้มข้นของสารละลายน้ำเพคตินที่ใช้เป็น 7%, 8% และ 9% พบร้าวเม็ดเคลือบเพคตินมีความสามารถทนทานในสภาวะกรดได้ด้านขึ้น โดยพบจำนวนเม็ดเคลือบเพคตินที่แบงร้าวออกมาได้ลดลงเป็น  $34.66 \pm 14.74$  และ  $10.00 \pm 2.00$  สำหรับเม็ดเคลือบเพคตินที่เตรียมจากสารละลายน้ำเพคติน 7% และ 8% ตามลำดับ และที่เตรียมจากความเข้มข้นของสารละลายน้ำ 9% ไม่พบเม็ดเคลือบใดที่มีการร้าวออกของแบงจากเม็ดเคลือบที่ใช้ทดสอบ 100 เม็ด ซึ่งเป็นผลจากมีเนื้อเพคตินที่ไปหุ้มกรนูลเพิ่มขึ้นทำให้เกิดเจลชั้นที่หนาขึ้น จึงทำให้สามารถปกป่องกรนูลแบงและมีความสามารถทนทานต่อกรดได้มากกว่าโดยเฉพาะที่มีการใช้สารละลายน้ำเพคตินความเข้มข้น 9% ที่ไม่พบการร้าวออกของแบงเลย

เมื่อนำเม็ดเคลือบที่ผ่านการทดสอบในขั้นตอนการแซ่ในสภาวะกรดและนำมาทำการทดสอบต่อในสารละลายน้ำที่มีสภาพเสมือนในลำไส้เล็ก ที่ใช้ phosphate buffer pH 6.8 อีกเป็นเวลา 2 ชั่วโมง ผลการทดลองพบว่าเม็ดเคลือบที่เตรียมจากสารละลายน้ำเพคติน 5, 6 และ 7% ไม่สามารถทนต่อสภาวะน้ำได้ต่อไป มีการแตกตัวกลยย์เป็นเจลใสขึ้นเล็กๆ และในบางส่วนยังพบแบงติดอยู่บ้าง โดยตรวจพบจำนวนเม็ดเคลือบที่มีการร้าวออกของแบงเป็นจำนวน  $42.33 \pm 2.51$ ,  $60 \pm 9.16$  และ  $45.33 \pm 14.74$  เม็ดตามลำดับ สำหรับเม็ดเคลือบที่ได้จากสารละลายน้ำเพคติน 8% และ 9% จะทนต่อ phosphate buffer pH 6.8 ได้มากกว่า มีระดับการถูกทำลายที่แตกต่างกันโดยพบว่าที่ 8% จะมีจำนวนเม็ดเคลือบที่แตกและสลาย และเกิดการร้าวออกของแบงมากกว่าที่ 9% โดยเม็ดเคลือบที่ปล่อยแบงออกมากจำนวน  $56.00 \pm 8.00$  และ  $38.66 \pm 8.08$  เม็ดตามลำดับ ซึ่งเป็นผลจากความหนาของชั้นเจลที่เกิดขึ้น เมื่อนำเม็ดแบงที่ยังสามารถทนต่อ phosphate buffer pH 6.8 ได้อยู่ คือในส่วนของเม็ดเคลือบเพคตินที่ 8% และ 9% พบร้าวมีการปล่อยแบงออกมากหนาเมื่อทดสอบใน phosphate buffer pH 7.4 ที่มีสภาพเสมือนในลำไส้ใหญ่ รูปที่ 4.18 แสดงตัวอย่างลักษณะของเม็ดเคลือบเพคตินที่ผ่านการทดสอบในสภาวะกรดและ phosphate buffer pH 6.8



(ก)



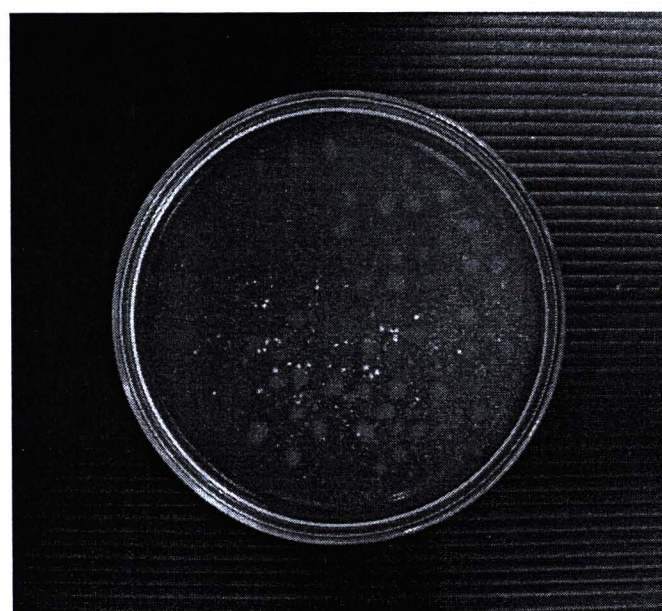
(ข)

รูปที่ 4.18 ลักษณะเม็ดเคลือบเพคตินที่ผ่านการทดสอบ (ก) 0.1 N. HCl : pH 1.2  
(ข) PBS : pH 6.8 นาน 2 ชั่วโมง

เมื่อนำเม็ดเคลือบเพคตินที่เตรียมได้จากสารละลายเพคติน 8 % และ 9 % และผ่านการทดสอบในน้ำย่อยเสมือนในลำไส้เล็ก ซึ่งเป็นสภาวะกรด-เบส 6.8 ไปทำการทดสอบต่อในน้ำย่อยเสมือนของลำไส้ใหญ่โดยแช่ใน PBS (pH 7.4) นานเป็นเวลา 4 ชั่วโมง ผลการทดลองพบว่าเม็ดเคลือบเพคตินทั้งหมดที่นำมาทดสอบเพคตินที่ล้อมรอบมีการถูกทำลายและมีการร้าวออกของมาของแบ่งที่อยู่ร้ายในดังแสดงในแต่ละสภาวะที่ใช้ในการทดสอบในรูปที่ 4.19 – 4.23



(ก)

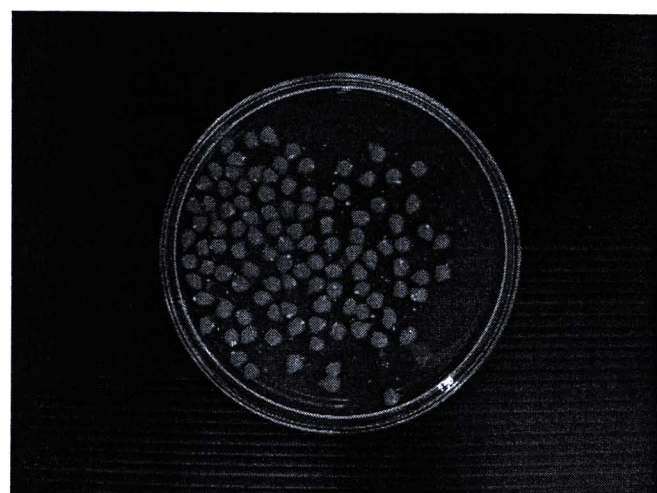


(ข)

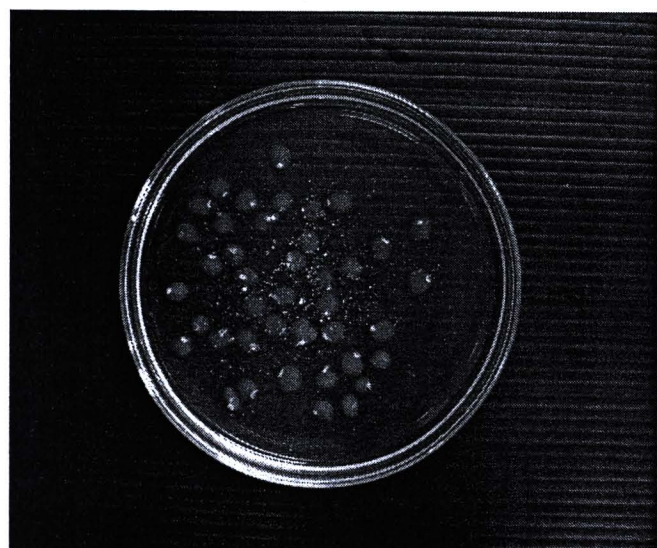
รูปที่ 4.19 ลักษณะเม็ดเคลือบเพคติน (5%) ที่ผ่านการทดสอบใน (ก) 0.1 N. HCl : pH 1.2 และตามด้วย (ข) PBS : pH 6.8 นาน 2 ชั่วโมง



รูปที่ 4.20 ลักษณะเม็ดเคลือบเพคติน (6%) ที่ผ่านการทดสอบใน (ก) 0.1 N. HCl : pH 1.2 และตามด้วย (ข) PBS : pH 6.8 นาน 2 ชั่วโมง



(ก)



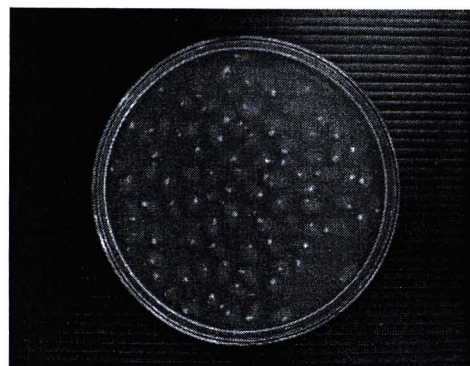
(ข)

รูปที่ 4.21 ลักษณะเม็ดเคลือบเพคติน (7%) ที่ผ่านการทดสอบใน (ก) 0.1 N. HCl :

pH 1.2 และตามด้วย (ข) PBS : pH 6.8 นาน 2 ชั่วโมง



(ก)



(ห)

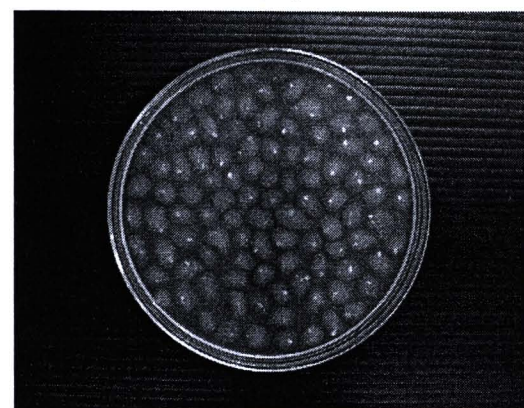


(ก)

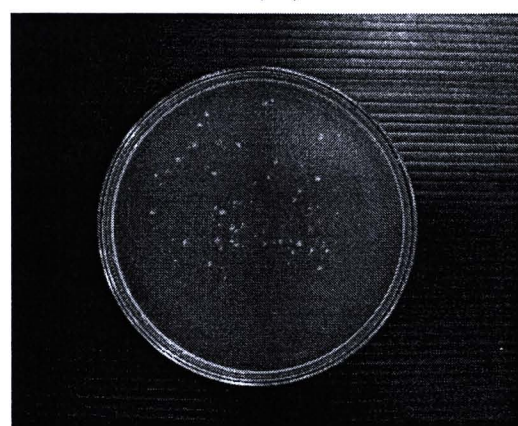
รูปที่ 4.22 ลักษณะเม็ดเคลือบเพคติน (8%) ที่ทดสอบใน (ก) 0.1 N. HCl : pH 1.2  
และตามด้วย (ห) PBS : pH 6.8 นาน 2 ชั่วโมง และ(ก) PBS : pH 7.4 นาน 4  
ชั่วโมง



( ก )



( ข )



( ค )

รูปที่ 4.23 ลักษณะเม็ดเคลือบเพคติน (9%) ที่ทดสอบใน (ก) 0.1 N. HCl : pH 1.2  
และตามด้วย (ข) PBS : pH 6.8 นาน 2 ชั่วโมง และ(ค) PBS : pH 7.4  
นาน 4 ชั่วโมง

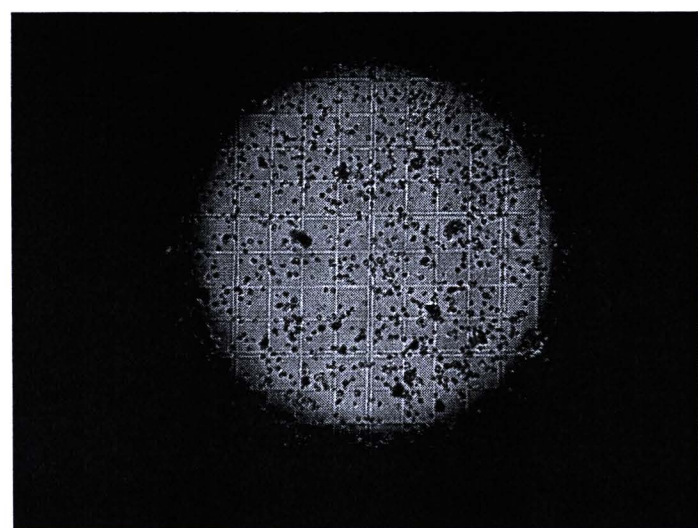
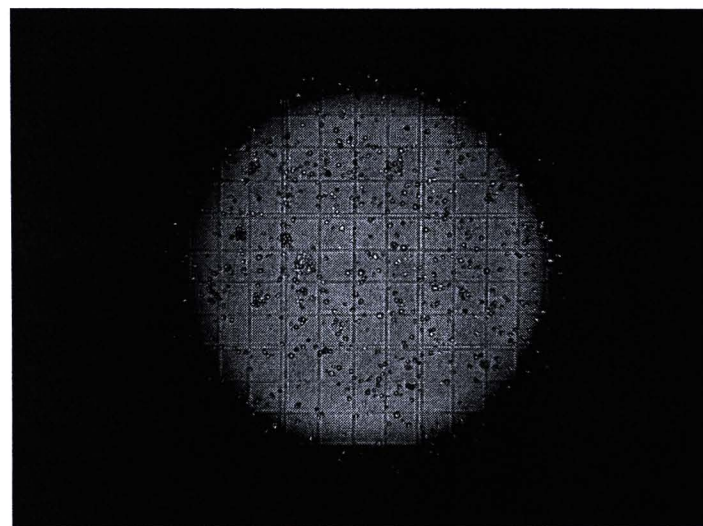
เมื่อนำเคมีพิรุณที่รับรู้ออกมานำไปต่อตัวอย่างของการทดสอบไปทำการล้างให้สะอาดด้วยน้ำกลั่นและนำไปหยดด้วยสารละลายไฮโอดีนเพื่อทดสอบแบ่ง ผลการทดลองพบว่าเกิดเป็นสีน้ำเงินจากการทำปฏิกิริยาของแบ่งกับไฮโอดีนซึ่งแสดงถึงการรับรู้ออกมานำแบ่ง ความเข้มของสีขึ้นอยู่กับปริมาณของแบ่งที่รับรู้ออกมานำ ดังรูปไว้ในตารางที่ 4.4

ตารางที่ 4.4 แสดงความเข้มของสีจากการทำปฏิกิริยาของไฮโอดีนกับแบ่งที่รับรู้ออกมานำแต่ละสภาวะ

เม็ดเคลือบเพคตินที่ % ความเข้มข้น	0.1 N. HCl: pH 1.2 ( 2 ชั่วโมง )	PBS : pH 6.8 ( 2 ชั่วโมง )	PBS : pH 7.4 ( 4 ชั่วโมง )
5	++	++	0
6	++	++	0
7	+	++	0
8	+	++	++
9	-	+	+++

หมายเหตุ - ไม่เกิดสีน้ำเงิน  
+ เกิดสีน้ำเงินน้อย  
++ เกิดสีน้ำเงินปานกลาง  
+++ เกิดสีน้ำเงินมาก  
0 ไม่ได้ทำการทดสอบต่อ

เมื่อนำเอกสารก่อนแบ่งในแต่ละสภาวะไปตรวจดูลักษณะโครงสร้างและการกระจายตัวพบได้ว่า การกระจายตัวของแบ่งสัมพันธ์กับปริมาณแบ่งที่รับรู้ออกมานำ ถ้าปริมาณแบ่งที่รับรู้ออกมาน้อยสอดคล้องกับการกระจายที่บางตัว กรณีที่มีแบ่งรับรู้ออกมามากก็จะพบจำนวนแบ่งมาก และมีการกระจายตัวหนาแน่น ตลอดจนเม็ดแบ่งมีการเกาะกลุ่มกันในลักษณะต่างๆ กัน (รูปที่ 4.24)

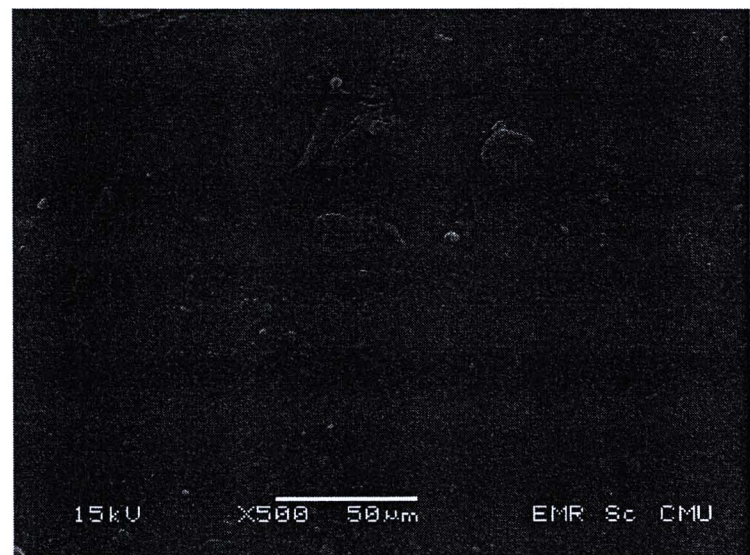


รูปที่ 4.24 การกระจายตัวของแบ่งที่ตรวจสอบภายใต้กล้องจุลทรรศน์ธรรมดา ( $\times 10$ )  
(บน) การร้วงของแบ่งปริมาณน้อย  
(ล่าง) การร้วงของแบ่งปริมาณมาก

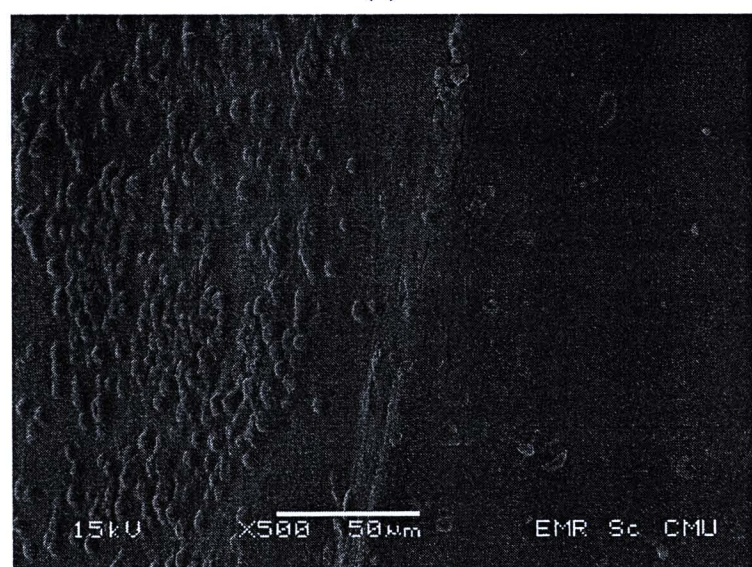
#### 4.4.2.3 ลักษณะทางกายภาพของเม็ดเคลือบเพคติน (9 %) หลังการทดลองใน *in vitro* ภายใต้กล่องจุลทรรศน์อิเล็กตรอน

จากการศึกษาลักษณะโครงสร้างทางกายภาพของแกรนูลเคลือบเพคติน 9% หลังมีการแช่ในกรด HCl 0.1 N. pH 1.2 และ PBS pH 6.8 พบว่าที่สภาวะการดันผิวเพคตินมีร่องรอยของการยุบของผิวเล็กน้อยเมื่อเปรียบเทียบกับผิวเพคตินก่อนการทดลอง เมื่อศึกษาในลักษณะภาคตัดขวางพบว่าการแข็งอยู่ในกรด 2 ชั่วโมง ผิวเพคตินยังคงสภาพเดิมและสามารถทานต่อการถูกทำลายโดยกรดโดยดูจากภาพถ่ายพบร่างเพคตินหุ้มแป้งให้ได้อย่างหนาแน่นโดยไม่พบว่ามีแป้งหลุดออกของมาจากการแกรนูลเคลือบ หลังการนำเม็ดเคลือบเพคตินที่ผ่านการทดสอบในสุกภาพกรดและนำไปทดสอบในสภาวะเบสที่ pH 6.8 จะสังเกตเห็นการเปลี่ยนแปลงที่เด่นชัดคือ พื้นผิวที่ถูกกระทำโดยกรด 2 ชั่วโมงและทดสอบต่อในสภาวะ pH 6.8 อีก 2 ชั่วโมงพบการบางตัวลง พื้นผิวจะมีรอยแยกและรอยกัดเช้ำเพิ่มขึ้นและลึกที่เห็นเด่นชัดยิ่งขึ้นคือจากการศึกษาในแนวภาคตัดขวาง พบว่าเม็ดเคลือบมีร่องรอยของการถูกแทรกซึมโดยสารละลายจากการที่ส่วนเคลือบที่เป็นเพคตินบางตัวลง ทำให้แกรนูลที่เกาะกันเป็นกลุ่มเริ่มแตกกระจาย และมีการเปลี่ยนรูปร่างจากเม็ดกลมเป็นรูปรียาวเป็นแรก ๆ คล้ายๆ รูปดาวหรือประวัติรังสี การเปลี่ยนแปลงในขั้นตอนนี้สอดคล้องกับการศึกษาด้วยตาเปล่าที่พบว่า เจรเพคตินที่เกิดขึ้นหลังผ่านการแช่ใน PBS, pH 6.8 จะมีการพองตัวเพิ่มขึ้นพร้อม ๆ กับมีการพองตัวขยายขนาดของแกรนูลแป้งที่บรรจุอยู่เพิ่มขึ้น ซึ่งแสดงว่าแป้งเริ่มมีการแตกตัวของมาจากการแกรนูลแป้งในรูปเม็ดแป้งเล็กๆ แต่เนื่องจากเพคตินมีคุณสมบัติที่ดีในการก่อเจลจึงทำให้มีการค่อย ๆ ปล่อยผงแป้งออกจากแกรนูลและเม็ดเพคตินที่เคลือบ ทำให้การนำส่งแป้งไปสู่เป้าหมายสามารถดำเนินต่อไปได้ (รูปที่ 4.25-4.26) เพคตินสามารถที่จะทำปฏิกิริยาได้กับแคลเซียมอิโอนได้เป็น calcium pectinate และนำไปใช้เคลือบเป็นฟิล์มที่ซอบน้ำแต่ไม่ละลายในน้ำโดยอาศัยกระบวนการ interfacial complexation โดยเฉพาะในเพคตินพวง low ester จะได้ ionic bridges ระหว่าง calcium ions และ ionised carboxyl groups ของ galacturonic acid ที่มีอยู่ในเพคตินซึ่งเป็นโมเดลที่เรียกว่า “egg box-model” และเพคตินที่มีการทำให้เกิดเป็นเอกสารในบางส่วนและมีค่าเดี๋ยวที่ต่ำจะทำให้ได้ bead ที่กลมและเหมาะสม (Sriamornsak, 1998)

การศึกษาทดลองในครั้งนี้จึงมีความเป็นไปได้ในการนำผลการศึกษาไปพัฒนาต่อ ยอดโดยการเคลือบแกรนูลแป้งด้วยเพคตินซึ่งสามารถบังกันแป้งไม่ให้ร้าวออกมากในกระเพาะอาหารหรือน้ำย่อยในส่วนของลำไส้เล็กแต่สามารถที่จะปล่อยให้แป้งออกมากได้เมื่อแกรนูลเคลือนตัวเข้าไปถึงบริเวณลำไส้ใหญ่ เพื่อเป็นแนวทางในการพัฒนาแป้งให้อยู่ในรูปแบบอาหารเสริมสุขภาพต่อไปในอนาคต



(ก)



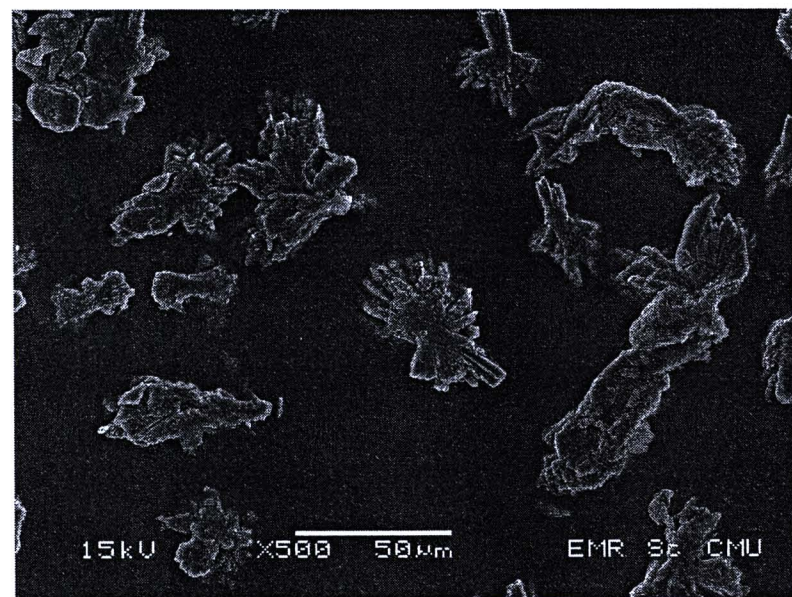
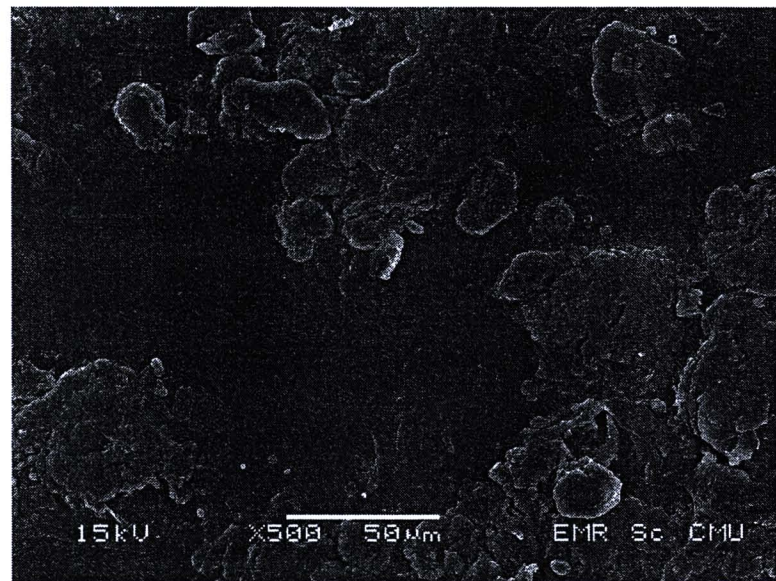
(ข)

รูปที่ 4.25 การเปลี่ยนแปลงลักษณะพื้นผิวของเม็ดเคลือบเพคติน 9% ใน 0.1 N.

HCl pH 1.2 นาน 2 ชั่วโมง ภายใต้กล้องจุลทรรศน์อิเล็กตรอน (Low vacuum mode)

(ก) พื้นผิวส่วนนอก

(ข) ภาพดัดขาว



รูปที่ 4.26 การเปลี่ยนแปลงลักษณะทางกายภาพของเม็ดเคลือบเพคติน 9%  
หลังจากทดสอบใน 0.1 N. HCl pH 1.2 ต่อด้วย PBS : pH 6.8  
ภายใต้กล้องจุลทรรศน์อิเล็กตรอน ( Low vacuum mode )  
(บ่น) พื้นผิวล่วนนอก  
(ล่าง) ภาคตัดขวาง